

М. И. Белишев, А. В. Иванов

ОБ ОДНОЙ ЗАДАЧЕ ВАРИАЦИОННОГО ИСЧИСЛЕНИЯ

§1. ВВЕДЕНИЕ

Постановка. В трехмерном пространстве со стандартной системой декартовых координат x, y, z расположены два кольца $\{(x, y, z) \mid x = \pm h, y^2 + z^2 = 1\}$. Между кольцами натягивается мыльная пленка, минимизирующая свою площадь под действием сил поверхностного натяжения. По симметрии физических условий, пленка приобретает вид поверхности вращения (вокруг оси x) и нахождение ее формы сводится к известной задаче о минимуме функционала

$$S_h[y] := 2\pi \int_{-h}^h y(x) \sqrt{1 + y'^2(x)} dx \quad (1.1)$$

при условиях закрепления

$$y(-h) = y(h) = 1. \quad (1.2)$$

Величина $h > 0$, равная половине расстояния между кольцами, играет роль основного параметра. Цель работы состоит в исследовании поведения решений задачи (1.1), (1.2) в зависимости от h .

Результаты. Данная задача, в приведенной или аналогичной постановках, рассматривается (по крайней мере на формальном уровне) практически во всех учебниках по вариационному исчислению. Ее подробное исследование имеется в монографии [3]; мы же ориентировались на версию в учебнике [2], по поводу которой ниже будут сделаны замечания. В нашей работе:

- предлагается чисто аналитический способ решения задачи¹, использующий известные факты теории Штурма–Лиувилля;

Ключевые слова: задача о форме мыльной пленки, критический случай, условие Гольдшмидта, солитонный потенциал.

Работа поддержана грантами РФФИ 14-01-00535-а и СПбГУ 6.38.670.2013.

¹в [3] исследование проводится в геометрических терминах поведения поля экстремалей: см. стр 28–45

- подробно рассматривается ситуация с критическим значением $h = h_*$, после которого задача становится неразрешимой, причем исследование привлекает третью вариацию функционала $S_{h_*}[y]$;
- критически обсуждаются приведенные в [2] аргументы, относящиеся к условию Гольдшмидта и предлагается собственная трактовка неразрешимости при $h > h_*$, основанная на энергетических соображениях.

Интересно отметить, что при исследовании второй вариации функционала (1.1) ключевую роль играет уравнение Штурма–Лиувилля с односолитонным потенциалом. Однако содержательное объяснение этому факту нам найти не удалось.

Благодарность. Авторы признательны А.Ф.Вакуленко за полезные обсуждения и консультации.

§2. ИССЛЕДОВАНИЕ НА ЭКСТРЕМУМ

Экстремали. Напомним известные факты. Экстремали функционала (1.1) суть решения уравнения Эйлера

$$F_y - \frac{d}{dx} F_{y'} = 0,$$

где $F(y, y') := y\sqrt{1+y'^2}$. Оно имеет первый интеграл $F - y'F_{y'} = C$; последующее интегрирование дает решения вида $y(x, C_1, C_2) = C_1 \operatorname{ch} \frac{x+C_2}{C_1}$. Из условий (1.2) легко следует $C_2 = 0$, что приводит к однопараметрическому семейству экстремалей задачи

$$y(x, C) = C \operatorname{ch} \frac{x}{C}, \quad C > 0. \quad (2.1)$$

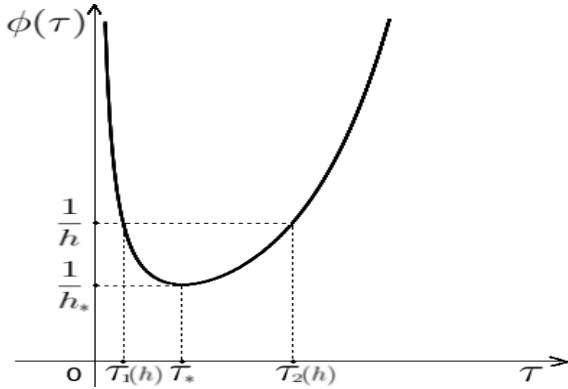
Значение функционала на экстремали находится интегрированием:

$$S_h[y(\cdot, C)] = 2\pi \int_{-h}^h C \operatorname{ch} \frac{x}{C} \sqrt{1 + \operatorname{sh}^2 \frac{x}{C}} dx = 2\pi Ch + \pi C^2 \operatorname{sh} \frac{2h}{C}. \quad (2.2)$$

Условия разрешимости. Подстановка $x = h$ в (2.1) с учетом (1.2) дает уравнение $C \operatorname{ch} \frac{h}{C} = 1$ для определения постоянной C , которое удобно записать в виде

$$\phi(\tau) = \frac{1}{h}, \quad \text{где } \tau := \frac{h}{C} > 0, \quad \phi(\tau) := \frac{\operatorname{ch} \tau}{\tau}. \quad (2.3)$$

Элементарное исследование приводит к следующим фактам.

Рис. 1. Функция ϕ .

- Функция ϕ выпукла вниз, причем выполнено $\phi(\tau) \rightarrow \infty$ при $\tau \rightarrow 0$ и $\tau \rightarrow \infty$. Она имеет единственный положительный минимум в точке $\tau = \tau_*$, определяемой равенством $\phi'(\tau) = 0$. Последнее равносильно трансцендентному уравнению

$$1 - \tau \operatorname{th} \tau = 0. \quad (2.4)$$

- Уравнение (2.3) разрешимо лишь при $h \leq h_*$, где $h_* := \frac{1}{\phi(\tau_*)}$. При $h < h_*$ оно имеет два различных корня $\tau_{1,2}(h) : \tau_1(h) < \tau_2(h)$; при $h = h_*$ корни совпадают. При $h \rightarrow 0$ выполнено $\tau_1(h) \rightarrow 0$ и $\tau_2(h) \rightarrow \infty$, причем

$$\lim_{h \rightarrow 0} \frac{\tau_1(h)}{h} = 1, \quad \lim_{h \rightarrow 0} h \frac{e^{\tau_2(h)}}{\tau_2(h)} = 2. \quad (2.5)$$

- Функция $\tau_1(h)$, определенная при $0 \leq h \leq h_*$, обратима; обратная функция есть

$$h = h(\tau_1) \stackrel{(2.3)}{=} \frac{\tau_1}{\operatorname{ch} \tau_1}, \quad 0 \leq \tau_1 \leq \tau_*. \quad (2.6)$$

Для нее имеем:

$$\frac{dh}{d\tau_1} = \frac{1 - \tau_1 \operatorname{th} \tau_1}{\operatorname{ch} \tau_1},$$

откуда

$$\frac{d\tau_1}{dh} = \frac{\operatorname{ch} \tau_1}{1 - \tau_1 \operatorname{th} \tau_1}, \quad \lim_{h \rightarrow h_*} \frac{d\tau_1}{dh} \stackrel{(2.4)}{=} \infty. \quad (2.6)$$

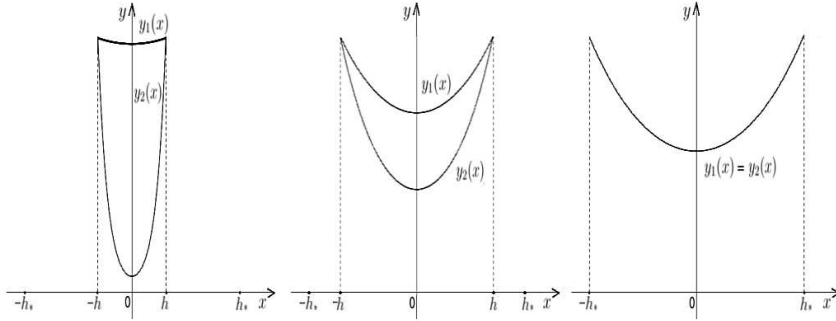


Рис. 2. Экстремали.

Из приведенного выше, в частности, следует, что при $h \leq h_*$ функционал $S_h[y]$ имеет две экстремали

$$y_{1,2}(x) \stackrel{(2.1)}{=} \frac{h}{\tau_{1,2}(h)} \operatorname{ch} \left[\frac{\tau_{1,2}(h)}{h} x \right], \quad -h \leq x \leq h, \quad (2.7)$$

различные при $h < h_*$ и совпадающие при $h = h_*$. При $h > h_*$ функционал $S_h[y]$ экстремалей не имеет. На рис.2 показаны графики экстремалей для малого, промежуточного и критического значений расстояния h .

Подстановка (2.7) в (2.1) приводит к равенствам

$$S_h[y_{1,2}] = 2\pi \frac{h^2}{\tau_{1,2}(h)} + \pi \frac{h^2}{\tau_{1,2}^2(h)} \operatorname{sh} 2\tau_{1,2}(h), \quad 0 < h \leq h_*. \quad (2.8)$$

Из них, с учетом (2.5), легко выводятся соотношения

$$\lim_{h \rightarrow 0} S_h[y_1] = 0, \quad \lim_{h \rightarrow 0} S_h[y_2] = 2\pi.$$

Дополнительный анализ дает

$$S_h[y_1] < S_h[y_2], \quad 0 < h < h_*, \quad (2.9)$$

при этом $S_{h_*}[y_1] = S_{h_*}[y_2]$ по совпадению экстремалей при $h = h_*$ (см. рис.3).

Вторая вариация. Исследование экстремалей на наличие экстремума использует тейлоровское представление

$$S_h[y + t\eta] \underset{t \sim 0}{=} S_h[y] + t\delta S_h[y; h] + t^2\delta^2 S_h[y; h] + t^3\delta^3 S_h[y; h] + o(t^3) \quad (2.10)$$

² и, в частности, вторую вариацию. Ее общий вид на экстремалах (2.1) устанавливается прямым дифференцированием:

$$\delta^2 S_h[y; \eta] := \frac{1}{2!} \left[\frac{d^2}{dt^2} S_h[y + t\eta] \right] \Big|_{t=0} \stackrel{(1.1), (2.1)}{=} \frac{1}{2C} \int_{-h}^h \frac{C^2 \eta'^2(x) - \eta^2(x)}{\operatorname{ch}^2 \frac{x}{C}} dx,$$

где $\eta \in C^1[-h, h]$ – пробная функция, $\eta(-h) = \eta(h) = 0$. Вводя новую переменную $s = \frac{x}{C}$ и пробную функцию

$$\psi(s) := \frac{\eta(Cs)}{\operatorname{ch} s} \quad (\text{при этом } \eta(x) = \psi\left(\frac{x}{C}\right) \operatorname{ch} \frac{x}{C}), \quad (2.11)$$

и интегрируя по частям с учетом $\psi(-\tau) = \psi(\tau) = 0$, после несложных вычислений получим

$$\delta^2 S_h[y; \eta] = \alpha \int_{-\tau}^{\tau} \left[\psi'^2(s) - \frac{2}{\operatorname{ch}^2 s} \psi^2(s) \right] ds, \quad (2.12)$$

где $\alpha = \operatorname{const} > 0$.

Рассмотрим интеграл в (2.12) как функционал над ψ . Отвечающее ему уравнение Эйлера имеет вид уравнения Штурма–Лиувилля

$$\psi'' + \frac{2}{\operatorname{ch}^2 s} \psi = 0 \quad (2.13)$$

с *солитонным потенциалом* $q = \frac{2}{\operatorname{ch}^2 s}$. Является ли присутствие последнего в данной задаче случайным обстоятельством или имеет какой-то содержательный подтекст, нам установить не удалось.

В исследовании второй вариации мы используем решение уравнения (2.13) специального вида

$$\mu(s) := 1 - s \operatorname{th} s. \quad (2.14)$$

Оно выделено условиями $\mu(0) = 1$ и $\mu(-s) = \mu(s)$, имеет простые корни $\tau = \mp \tau_*$ (см. (2.4)) и *положительно* в интервале $(-\tau_*, \tau_*)$. Напомним, что любое решение уравнения $u'' + qu = 0$ вне своих корней

²В нем для экстремалей y выполнено $\delta S_h[y; h] = 0$

удовлетворяет известному уравнению Риккати

$$\left[\frac{u'}{u} \right]' + \left[\frac{u'}{u} \right]^2 = -q.$$

Применимельно к решению μ имеем:

$$\left[\frac{\mu'}{\mu} \right]' + \left[\frac{\mu'}{\mu} \right]^2 = -\frac{2}{\operatorname{ch}^2 \tau}. \quad (2.15)$$

Поэтому при $|\tau| < \tau_*$ (вне корней μ) следующие преобразования интеграла из (2.12) вполне корректны:

$$\begin{aligned} & \int_{-\tau}^{\tau} \left[\psi'^2(s) - \frac{2}{\operatorname{ch}^2 s} \psi^2(s) \right] ds \stackrel{(2.15)}{=} \int_{-\tau}^{\tau} \left\{ \psi'^2 + \left[\left(\frac{\mu'}{\mu} \right)' + \left(\frac{\mu'}{\mu} \right)^2 \right] \psi^2 \right\} ds \\ & \stackrel{(*)}{=} \int_{-\tau}^{\tau} \left[\psi'^2 - \frac{\mu'}{\mu} (\psi^2)' + \left(\frac{\mu'}{\mu} \right)^2 \psi^2 \right] ds = \int_{-\tau}^{\tau} \left[\psi' - \frac{\mu'}{\mu} \psi \right]^2 ds. \end{aligned}$$

При интегрировании по частям в равенстве (*) использованы граничные условия $\psi(\mp\tau) = 0$. Из них же следует ограниченность $\frac{\psi}{\mu}$ при $|s| \leq \tau_*$, что позволяет оправдать выкладки и в случае $\tau = \tau_*$.

Как следствие, для второй вариации (2.12) при любой пробной функции η имеем:

$$\delta^2 S_h[y; \eta] = \beta \int_{-\tau}^{\tau} \left[\psi' - \frac{\mu'}{\mu} \psi \right]^2 ds = \begin{cases} > 0 & \text{при } \tau < \tau_* \\ \geq 0 & \text{при } \tau = \tau_* \end{cases}, \quad (2.16)$$

причем равенство $\delta^2 S_h[y; \eta] = 0$ (при $\tau = \tau_*$) выполнено только на функции η , которой отвечает (в смысле связи (2.11)) функция $\psi = c\mu$ с постоянной $c \neq 0$.

Экстремаль y_1 . Фиксируем $h < h_*$; при этом выполнено неравенство $\tau_1(h) < \tau_*$. В силу последнего, справедливо представление (2.16) с $\tau < \tau_*$, из которого имеем

$$\delta^2 S_h[y_1; \eta] > 0$$

для любой пробной функции η . Следовательно, экстремаль y_1 доставляет минимум функционалу $S_h[y]$. Величина минимума находится по (2.8). Как видно из (2.9), этот минимум является *локальным* (не является глобальным).

Экстремаль y_2 . При $h < h_*$ выполнено $\tau_2(h) > \tau_*$ и представление (2.16) теряет силу. Покажем, что вариация $\delta^2 S_h[y_2; \eta]$ перестает быть знакоопределенной и принимает отрицательные значения на подходящих η .

Рассмотрим граничную спектральную задачу

$$\psi'' + \lambda \frac{2}{\operatorname{ch}^2 s} \psi = 0, \quad -\tau < s < \tau \quad (2.17)$$

$$\psi(-\tau) = \psi(\tau) = 0 \quad (2.18)$$

для неоднородной струны с плотностью $\rho = \frac{2}{\operatorname{ch}^2 s}$ и закрепленными концами. В ней τ играет роль параметра. Приведем известные факты (см., например, [1]).

- Задача имеет простой дискретный спектр $\{\lambda_k(\tau)\}_{k \geq 1}$:

$$0 < \lambda_1(\tau) < \lambda_2(\tau) < \dots, \quad \lambda_k(\tau) \xrightarrow[k \rightarrow \infty]{} \infty$$

и соответствующие собственные функции $\{\psi_k(\cdot; \tau)\}_{k \geq 1}$, образующие ортогональный базис пространства $L_{2, \rho}(-\tau, \tau)$.

- Выполнено $\frac{d\lambda_k(\tau)}{d\tau} < 0$, т.е. собственные значения строго монотонно убывают по τ .
- Первое (наименьшее) собственное значение есть

$$\lambda_1(\tau) = \min_{0 \neq \psi \in H_0^1[-\tau, \tau]} \frac{\int_{-\tau}^{\tau} \psi'^2(s) ds}{\int_{-\tau}^{\tau} \frac{2}{\operatorname{ch}^2 s} \psi^2(s) ds}, \quad (2.19)$$

где $H_0^1[-\tau, \tau] := \{y \mid y, y' \in L_2(-\tau, \tau), y(\mp\tau) = 0\}$ – пространство Соболева. При $\tau \rightarrow 0$ выполнено $\lambda_1(\tau) \rightarrow \infty$.

- Собственная функция ψ_1 не имеет корней при $-\tau < s < \tau$. Функции ψ_k с номерами $k \geq 2$ имеют корни внутри этого интервала.

Из приведенного следует, что поведение нижней границы спектра струны таково. При $\tau \sim 0$ имеем $\lambda_1(\tau) \gg 1$. С ростом τ величина $\lambda_1(\tau)$ уменьшается, а при $\tau = \tau_*$ выполнено $\lambda_1(\tau_*) = 1$ и $\psi_1 = c\mu$. В самом деле, при $\tau = \tau_*$ уравнение (2.13)³ имеет решение $\psi = \mu$, удовлетворяющее условиям (2.18), т.е. являющееся собственной функцией струны, отвечающей $\lambda = 1$. То, что это именно *первая* собственная функция, следует из отсутствия корней у μ внутри $(-\tau_*, \tau_*)$.

³оно же – уравнение (2.17) с $\lambda = 1$

Далее, при $\tau > \tau_*$ по монотонности собственных значений имеем $\lambda_1(\tau) < 1$. Поэтому, в силу (2.19), найдется функция $\psi_0 \in H_0^1[-\tau, \tau]$, для которой выполнено

$$\frac{\int_{-\tau}^{\tau} \psi_0'^2(s) ds}{\int_{-\tau}^{\tau} \frac{2}{\operatorname{ch}^2 s} \psi_0^2(s) ds} < 1,$$

что равносильно

$$\int_{-\tau}^{\tau} \left[\psi_0'^2(s) - \frac{2}{\operatorname{ch}^2 s} \psi_0^2(s) \right] ds < 0.$$

Отсюда, для функции η_0 , связанной с ψ_0 соотношением (2.11), в силу (2.12) имеем:

$$\delta^2 S_h[y_2; \eta_0] < 0.$$

Следовательно на экстремали y_2 функционал $S_h[y]$ экстремума не имеет.

Критический случай. Предыдущие рассмотрения относились к случаю $h < h_*$. Пусть теперь $h = h_*$, так что экстремали сливаются:

$$y_1(x) = y_2(x) \stackrel{(2.7)}{=} \frac{h_*}{\tau_*} \operatorname{ch} \left[\frac{\tau_*}{h_*} x \right] =: y_*(x), \quad -h_* \leq x \leq h_*.$$

Покажем, что на y_* экстремума нет. Напомним, что функция μ определена в (2.14).

Найдем вариации функционала $S_{h_*}[y]$, выбрав в качестве пробной функцию

$$\eta_*(x) \stackrel{(2.11)}{=} \mu \left(\frac{\tau_*}{h_*} x \right) \operatorname{ch} \left[\frac{\tau_*}{h_*} x \right].$$

По выбору имеем $\delta S_{h_*}[y_*; \eta_*] = 0$ и $\delta^2 S_{h_*}[y_*; \eta_*] \stackrel{(2.16)}{=} 0$. Подсчитаем третью вариацию. Как нетрудно проверить, на произвольных элементах и пробной функции она имеет вид

$$\begin{aligned} \delta^3 S_h[y; \eta] &:= \frac{1}{3!} \left[\frac{d^3}{dt^3} S_h[y + t\eta] \right] \Big|_{t=0} \\ &= \pi \int_{-h}^h \frac{\eta'^2(x)}{(1 + y'^2(x))^{\frac{3}{2}}} \left[\eta(x) - \frac{y(x)y'(x)\eta'(x)}{1 + y'^2(x)} \right] dx. \end{aligned}$$

Полагая $h = h_*$, $y = y_*$ и $\eta = \eta_*$, после несложных вычислений получаем:

$$\delta^3 S_{h_*}[y_*; \eta_*] = \frac{2\pi\tau_*^4}{3h_*} \neq 0.$$

В силу (2.10) имеем $S_{h_*}[y_* + th_*] \underset{t \sim 0}{=} \gamma t^3 + o(t^3)$ с $\gamma \neq 0$, что и указывает на отсутствие экстремума.

§3. КОММЕНТАРИИ

Об условии Гольдшмидта. При $h > h_*$ функционал (1.1) с условиями (1.2) экстремалей не имеет. В [2] (глава 17, раздел 2) этому факту дается следующее качественное объяснение.

С ростом h площадь пленки растет. При достаточно большом h энергетически более выгодным оказывается положение, при котором пленка затягивает оба кольца по-отдельности, приобретая суммарную площадь $\pi 1^2 + \pi 1^2 = 2\pi$. Это приводит к ее разрыву, причем критическим оказывается значение площади 2π , что и объявляется *условием разрыва Гольдшмидта*.

Приведенное объяснение⁴ не является состоятельным. Определив “постоянную Гольдшмидта” h_G как решение уравнения $S_h[y_1] = 2\pi$ (относительно h), нетрудно проверить, что оно разрешимо и

$$0.5277\dots = h_G < h_* = 0.6627\dots,$$

так что соответствующая экстремаль y_1 существует и описывает устойчивое докритическое положение пленки: см. рис.3.

Вероятно, некорректное объяснение является простым недорозумением. В первом упражнении в конце раздела (стр 689) читателю предлагается “найти такое значение $\pm h$, чтобы поверхность вращения оказалась равной площади двух торцевых колец”.

Физические соображения. Выделено ли чем-нибудь значение $h = h_*$ с физической точки зрения? Ниже предлагается вариант ответа на этот вопрос.

Пусть $h < h_*$ и пленка имеет форму, описываемую экстремальной y_1 . При контакте с кольцами пленка действует на них силами поверхностного натяжения, притягивая друг к другу. По мере раздвижения

⁴оно, в основном, и мотивировало наш интерес к задаче

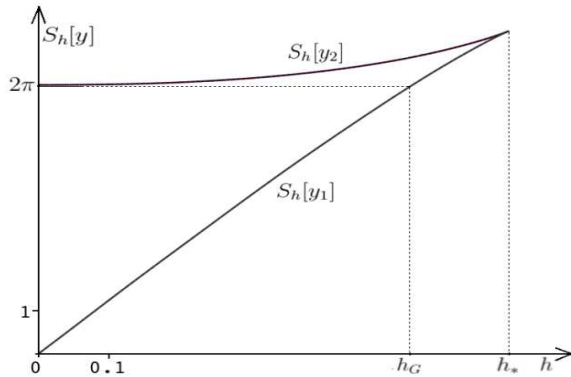


Рис. 3. Площади

колец система запасает потенциальную энергию. В рамках рассматриваемой модели можно предположить, что потенциальная энергия сил натяжения пропорциональна площади пленки $S_h[y_1]$. Производную

$$-\frac{dS_h[y_1]}{dh} =: F(h)$$

естественно⁵ интерпретировать как силу взаимного притяжения колец. Найдем ее величину.

Положив $R(\tau) := \frac{2}{\tau} + \frac{sh2\tau}{\tau^2}$, имеем $S_h[y_1] \stackrel{(2.8)}{=} \pi h^2 R(\tau_1(h))$, откуда

$$F(h) = -2\pi h R(\tau_1(h)) - \pi h^2 R'(\tau_1(h))\tau_1'(h).$$

Проводя дифференцирование в правой части, после несложных преобразований с учетом первого из равенств (2.6), получим

$$F(h) = -4\pi \frac{h}{\tau_1(h)}.$$

Дифференцируя еще раз, приходим к соотношениям

$$F'(h) = -4\pi \frac{\tau_1(h) - h\tau_1'(h)}{\tau_1^2(h)} \xrightarrow[h \rightarrow h_*]{(2.6)} \infty.$$

Такое поведение и дает основание считать значение $h = h_*$ критическим: можно полагать, что именно бесконечная скорость роста силы

⁵по аналогии с моделью упругой пружины, где $E_{\text{pot}} = \frac{kh^2}{2}$ и $F = -E'_{\text{pot}} = -kh$

приводит к разрыву пленки и делает невозможным ее существование при $h > h_*$.

ЛИТЕРАТУРА

1. Ф. В. Аткинсон, *Дискретные и непрерывные граничные задачи*. М., Мир (1968).
2. Г. А. Арфкен, *Математические методы в физике*. М., Атомиздат (1970).
3. В. С. Буслаев, *Вариационное исчисление*. Ленинград, Издательство Ленинградского Университета (1980).

Belishev M. I., Ivanov A. V. On a calculus of variations problem.

The paper is of scientific-methodical character. The classical soap film shape (minimal surface) problem is considered, the film being stretched between two parallel coaxial rings. An analytical approach based on relations to the Sturm-Liouville problem is proposed. An energy terms interpretation of the classical Goldschmidt condition is discussed. Appearance of the soliton potential in course of the second variation analysis is noticed.

Санкт-Петербургское Отделение
Математического Института
им. В.А.Стеклова РАН,
Санкт-Петербургский
Государственный Университет
E-mail: `belishev@pdmi.ras.ru`

Поступило 30 сентября 2014 г.

С.-Петербургский
государственный университет
Университетский пр. 28, Петродворец,
198504 Санкт-Петербург, Россия
E-mail: `regul1@mail.ru`